## Математическая модель взаимодействия вирусов в эпителии дыхательных путей

Червяков Никита Михайлович аспирант МГУ им. М.В.Ломоносова

Москва 17.10.2025

- В пандемию COVID-19 в период 2020-2021 годов наблюдалось снижение заболеваемости, вызванной вирусами гриппа и другими респираторными вирусами [1].
- В 2021 году наблюдалось снижение заболеваемости гриппом до 5-10% от уровня 2019 года [2].
- В указанный период существенно снизилась заболеваемость респираторно-синцитиальным вирусом, аденовирусом и парагриппом [1].

<sup>[1] -</sup>Соминина, А.А. и др., Эпидемиология и вакцинопрофилактика, 20(4), рр.28-39.

<sup>[2] -</sup> Bender, R.G. et. al., The Lancet Infectious Diseases, 24(9), pp.974-1002.

## Механизмы снижения заболеваемости гриппом в ходе пандемии COVID-19

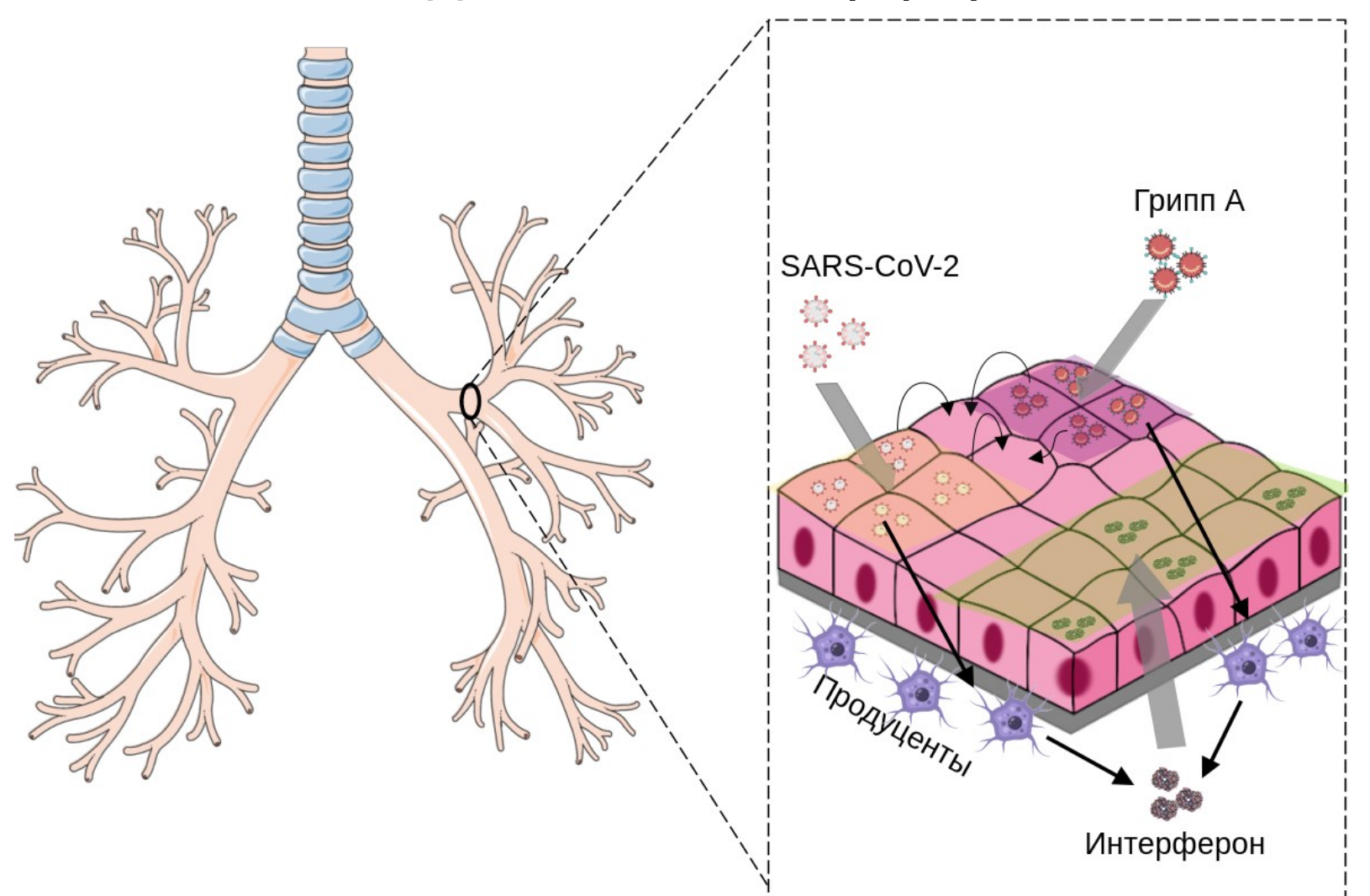
- В [1,2] снижение заболеваемости гриппом объясняется следующими механизмами:
  - Противоэпидемические меры, снижающие скорость передачи инфекции в популяции (локдауны, ношение масок);
  - Взаимодействие вирусов в эпителии, снижающее инфекционность вирусов;

- Вирусная интерференция явление, при котором инфекция одним вирусом влияет на инфекции другими вирусами [3];
- Рассматривается 2 механизма взаимодействия вирусов действие системы интерферона и конкуренция вирусов за клетки-мишени [3].
  - Механизмы интерференции ведут к возникновению периода невосприимчивости к инфицированию вторым вирусом во время инфекции первым.

#### Цели работы

- Построить модель взаимодействия двух вирусов в эпителии дыхательных путей человека;
- Оценить период полной или частичной невосприимчивости к инфицированию вторым вирусом во время протекания инфекции первым вирусом.

### Механизм действия интерферона



## Математическая модель взаимодействия вирусов в эпителии дыхательных путей

- Математическая модель состоит из трех блоков:
  - Двух блоков, описывающих динамику инфекции и действие интерферона при вирусных инфекциях SARS-CoV-2 и гриппа;
  - Блок адаптивного противовирусного иммунного ответа на SARS-CoV-2.

- Используется модель противовирусного иммунного ответа Марчука [4];
- Модель была модифицирована для учета взаимодействия двух вирусов и продукции интерферона плазмацитоидными дендритными клетками.

#### Модель вирусной инфекции в эпителии

$$\frac{dV}{dt} = \nu C_V - \gamma_{VM} V - \gamma_{VC} V (C^* - C_V - C_R - m) \quad (1)$$

$$\frac{dC_V}{dt} = \sigma V(C^* - C_V - C_R - m) - b_m C_V \tag{2}$$

$$\frac{dm}{dt} = b_m C_V + \alpha_C (C^* - C_V - C_R - m) - \alpha_m m \qquad (3)$$

$$\frac{dM}{dt} = \chi(M^* - M)V - \alpha_M M \tag{4}$$

$\frac{I}{J_{\mu}} =$	$= \rho_I M$ –	$-\alpha_I I$ $-$	$\sigma_I I(C^*$ -	$-C_V$ $-$	$-C_R-m)$	(5)
$\frac{1}{dt} =$	$= ho_I M$ $-$	$\alpha_I I -$	$\sigma_I I(C^*$ -	$-C_V$ $-$	$-C_R-m)$	(5

$$\frac{dC_R}{dt} = \sigma_R I(C^* - C_V - C_R - m) - \alpha_R C_R \tag{6}$$

V	концентрация вирусов в эпителии дыхательных путей	
Cv	концентрация инфицированных клеток реснитчатого эпителия	
m	концентрация пораженных клеток реснитчатого эпителия	
М	концентрация клеток-продуцентов интерферона	
I	концентрация интерферона	
CR	концентрация защищенных клеток реснитчатого эпителия	

#### Модель взаимодействия вирусов

#### SARS-CoV-2

$$\frac{dC_{V1}}{dt} = \sigma_1 V_1 (C^* - C_{V1} - C_{V2} - C_R - m) - b_{CE} C_{V1} E - b_{m1} C_{V1}$$
(2)

$$\frac{dM_{I1}}{dt} = \chi_{M_I1}(M_I^* - M_{I1} - M_{I2})V - \alpha_{M_I1}M_{I1}$$
(3)

#### Грипп А

$$\frac{dV_2}{dt} = \nu_2 C_{V2} - \gamma_{V2M} V_2 - \gamma_{V2C} V_2 (C^* - C_{V1} - C_{V2} - C_R - m)$$
 (4)

$$\frac{dC_{V2}}{dt} = \sigma_2 V_2 (C^* - C_{V1} - C_{V2} - C_R - m) - b_{m2} C_{V2}$$
 (5)

$$\frac{dM_2}{dt} = \chi_2(M^* - M_1 - M_2)V_2 - \alpha_M M_2 \tag{6}$$

$$\frac{dm}{dt} = b_{m1}C_{V1} + b_{m2}C_{V2} + \alpha_C(C^* - C_{V1} - C_{V2} - C_R - m) - \alpha_m m$$
 (7)

$$\frac{I}{dt} = \rho_I(M_1 + M_2) - \alpha_I I - \sigma_I I(C^* - C_{V1} - C_{V2} - C_R - m) \tag{8}$$

$$\frac{dC_R}{dt} = \sigma_R I(C^* - C_{V1} - C_{V2} - C_R - m) - \alpha_R C_R \tag{9}$$

Модель адаптивного иммунного ответа на вирус

SARS-CoV-2 [4]

$rac{dM_{AP}}{dt} = \chi_{M_{AP}}(M_{AP}^*-M_{AP})V - lpha_{M_{AP}}M_{AP}$	(10)
---	------

$$rac{dE}{dt} = b_p^E [
ho_E M_{AP}(t- au_E) H_E(t- au_E) E(t- au_E) - M_{AP} H_E E] - b_{EC} C_V E + lpha_E (E^*-E) \quad (13)$$

$$\frac{dB}{dt} = b_p^B [\rho_B M_{AP}(t - \tau_B) H_B(t - \tau_B) B(t - \tau_B) - M_{AP} H_B B] + \alpha_B (B^* - B)$$
 (14)

$$\frac{dP}{dt} = b_p^P \rho_P M_{AP}(t - \tau_P) H_B(t - \tau_P) B(t - \tau_P) + \alpha_P (P^* - P)$$

$$\tag{15}$$

$$\frac{dF}{dt} = \rho_F P - \alpha_F F - \gamma_{FV} FV \tag{16}$$

Мар	концентрация антиген- презентирующих клеток
HE	концентрация Т хэлперов, стимулирующих цитотоксические Т киллеры
<b>Н</b> в	концентрация Т хэлперов, стимулирующих В клетки
E	концентрация цитотоксических Т киллеров
В	концентрация В клеток
Р	концентрация плазматических клеток, секретирующих антитела
F	концентрация антител

#### Оценка параметров модели

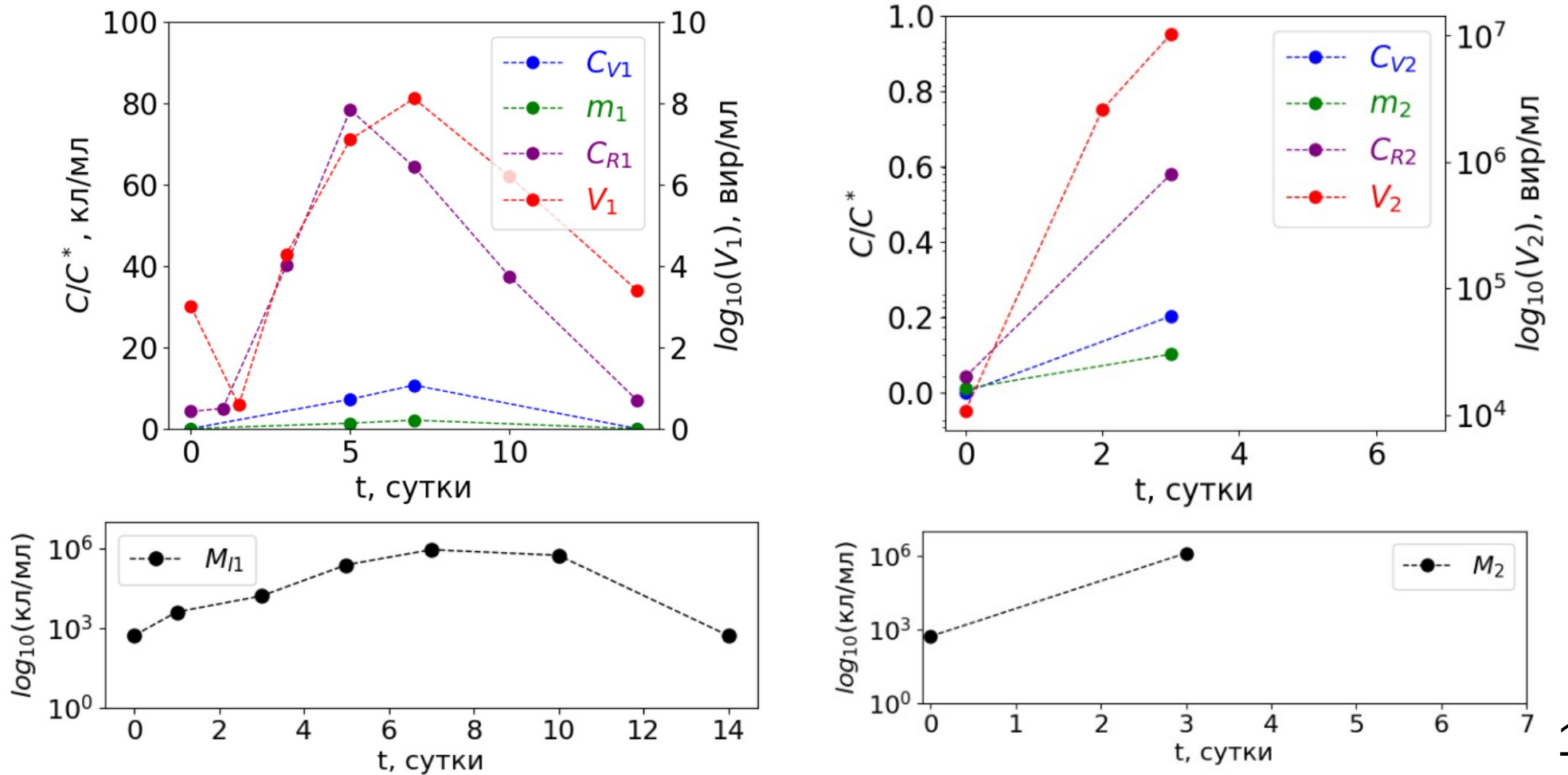
- Динамика переменных оценена по данным [5 7] для двух изолированных инфекций;
- Модель настроена на данные изолированного течения каждой инфекции

[5] - Lindeboom, R.G. et.al., Human SARS-CoV-2 challenge uncovers local and systemic response dynamics. Nature, 631(8019), pp.189-198.

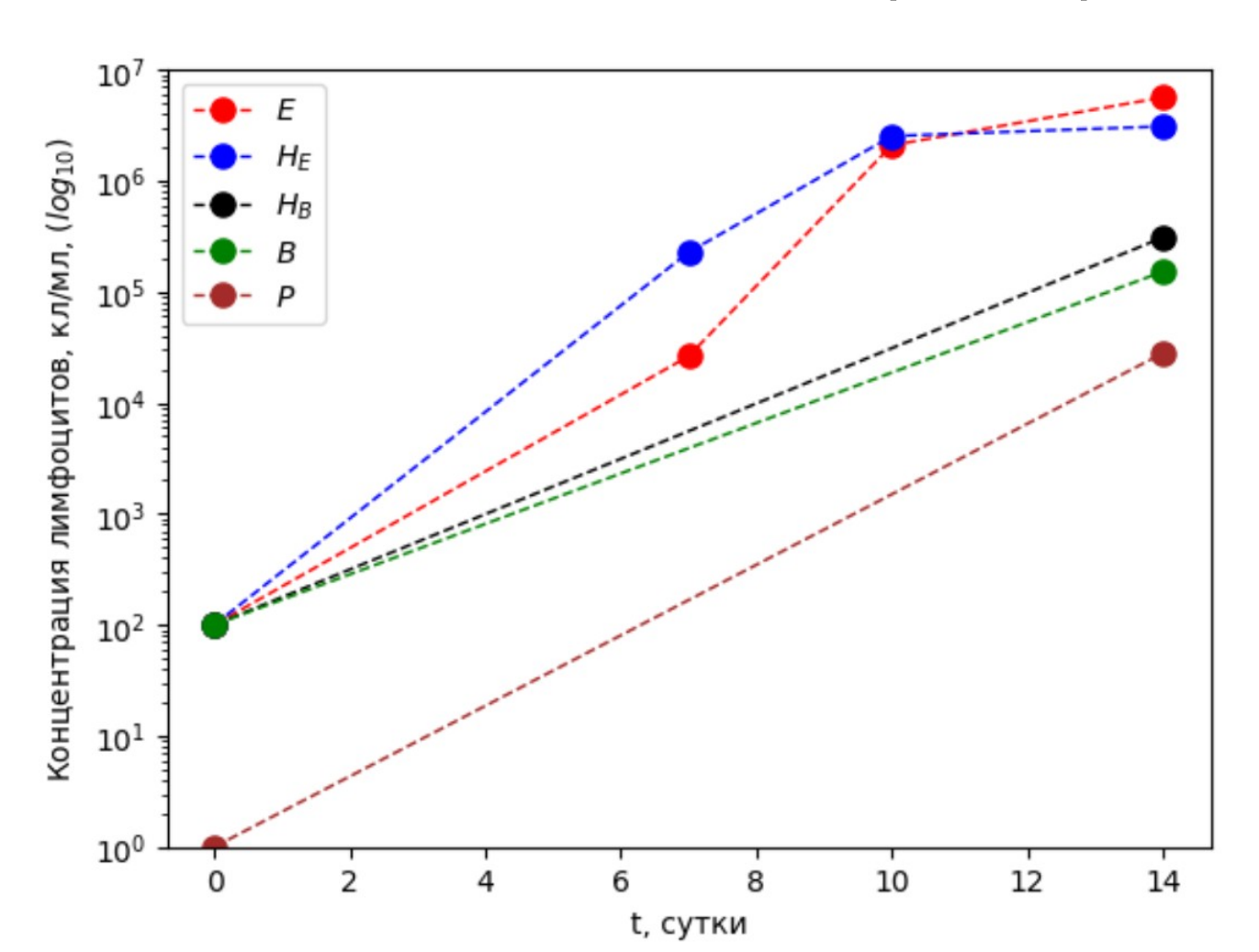
[6] - Gao, K.M., 2021. JCI insight, 6(22), p.e152288.

[7] - Ip, D.K., Clinical Infectious Diseases, 62(4), pp.431-437.

#### Данные для оценки параметров



#### Данные для оценки параметров



#### Оценка параметров модели

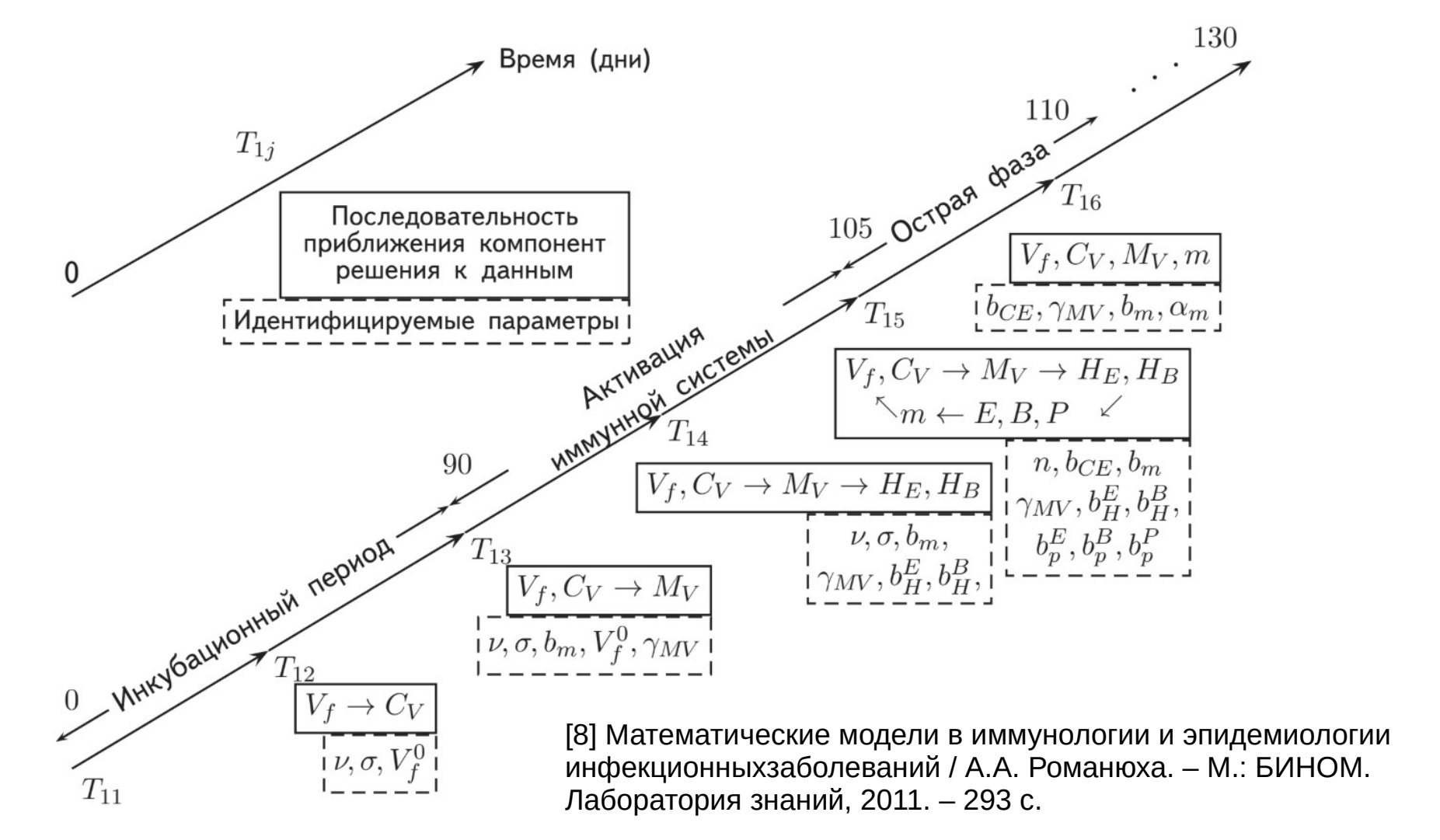
• Задача идентификации параметров сводится к задаче минимизации функционала

$$\Phi(lpha) = \sum_{j=1}^{M} \sum_{i=1}^{N} [(rac{y^{(i)}(t_j,lpha) - y^{(i)}_{obsj}}{y^{(i)}_{obsj}})^2 + (rac{y^{(i)}(t_j,lpha) - y^{(i)}_{obsj}}{y^{(i)}(t_j,lpha)})^2] 
ightarrow min$$

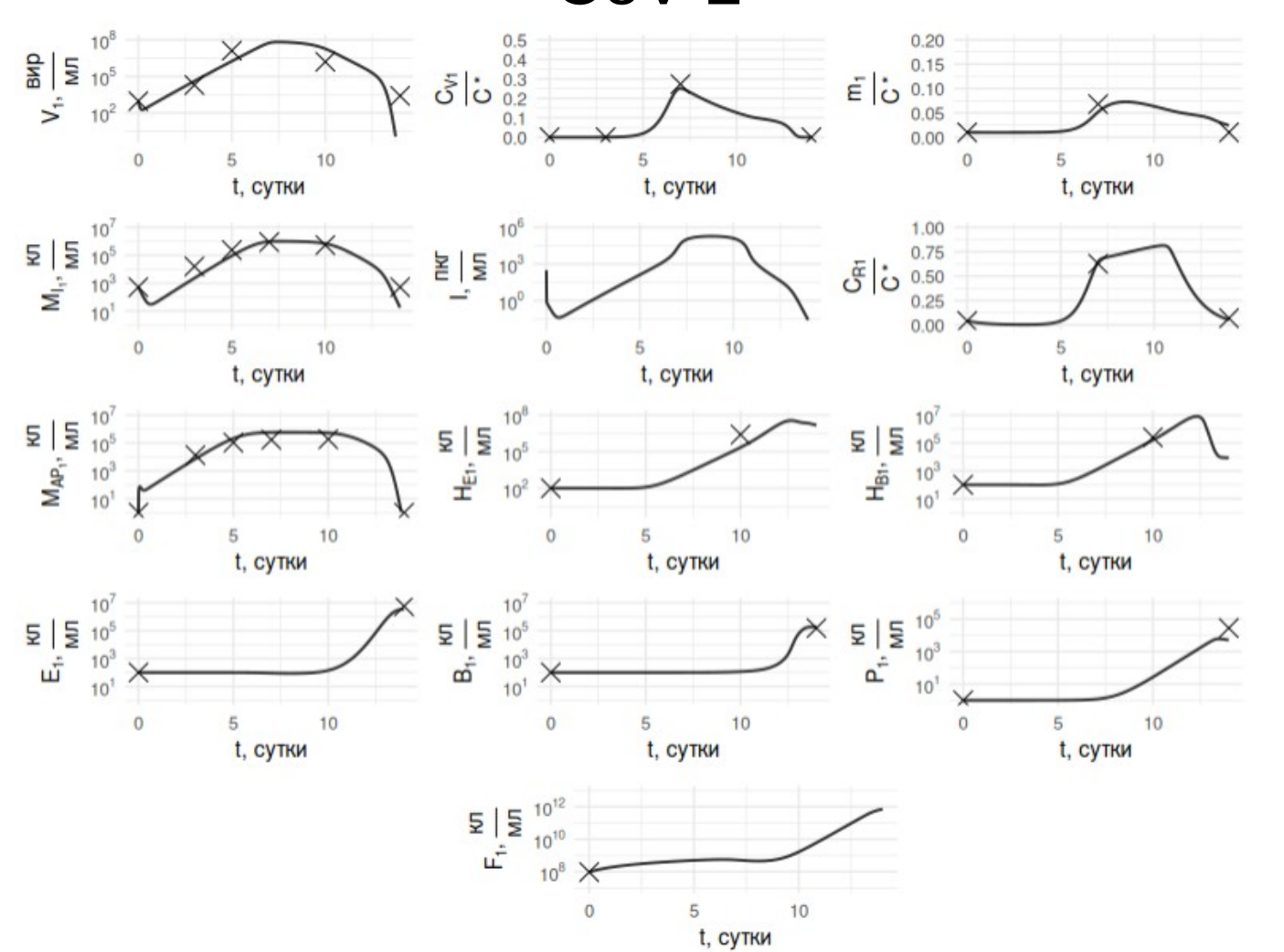
- ullet M размер вектора экспериментальных данных ullet
- N размер вектора решений модели
- $y_{obsj}^{(i)}$  вектор экспериментальных данных
- $y^{(i)}(t_j, lpha)$  вектор решений модели

- Задача Коши решалась неявным многошаговым методом Адамса;
- Задача поиска минимума функционала  $\Phi(\alpha)$  решалась симплекс-методом Нелдера-Мида и квазиньютоновским методом BFGS.

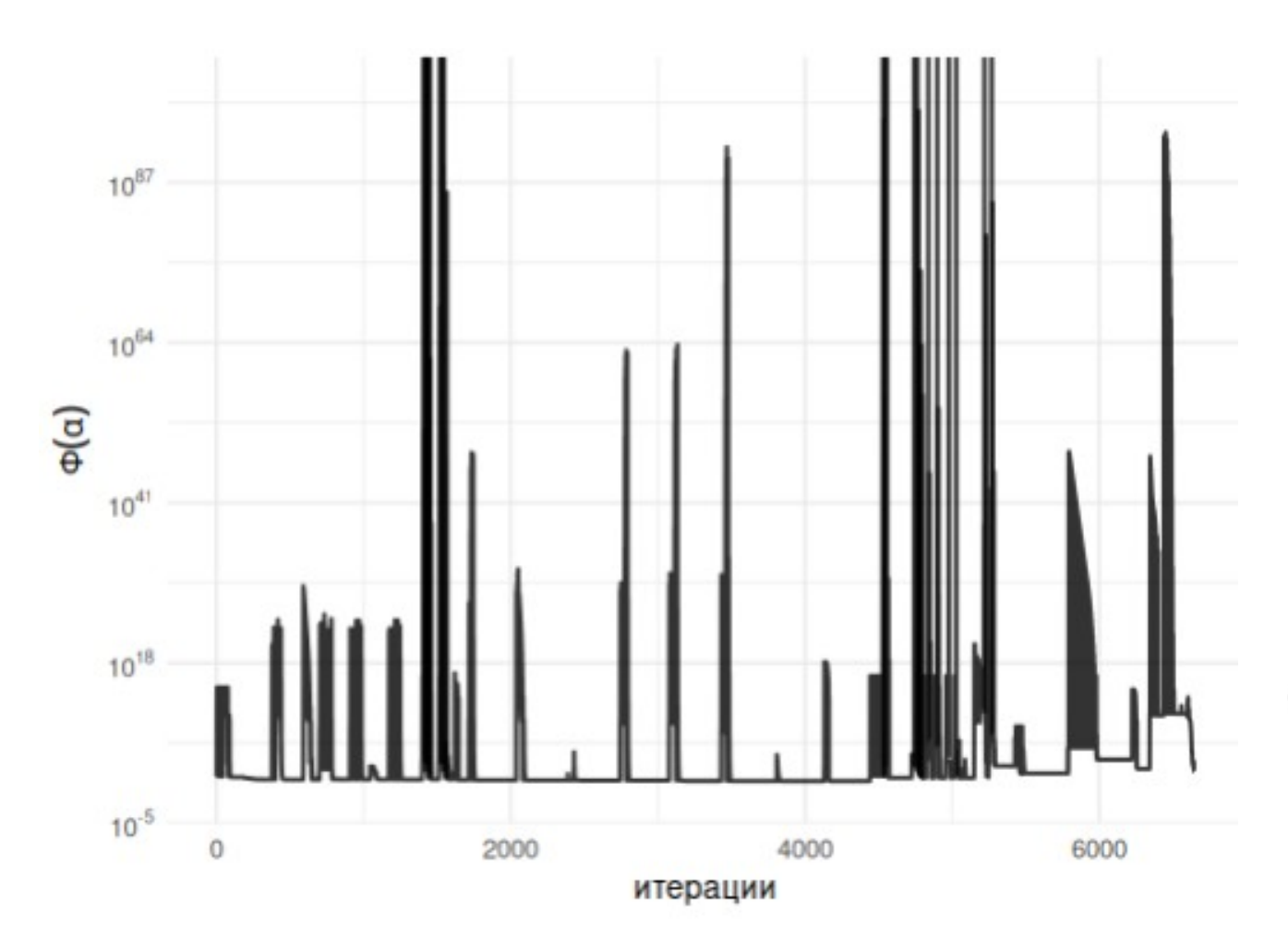
### Схема последовательной оценки параметров модели



#### Результаты оценки параметров модели инфекции SARS-CoV-2



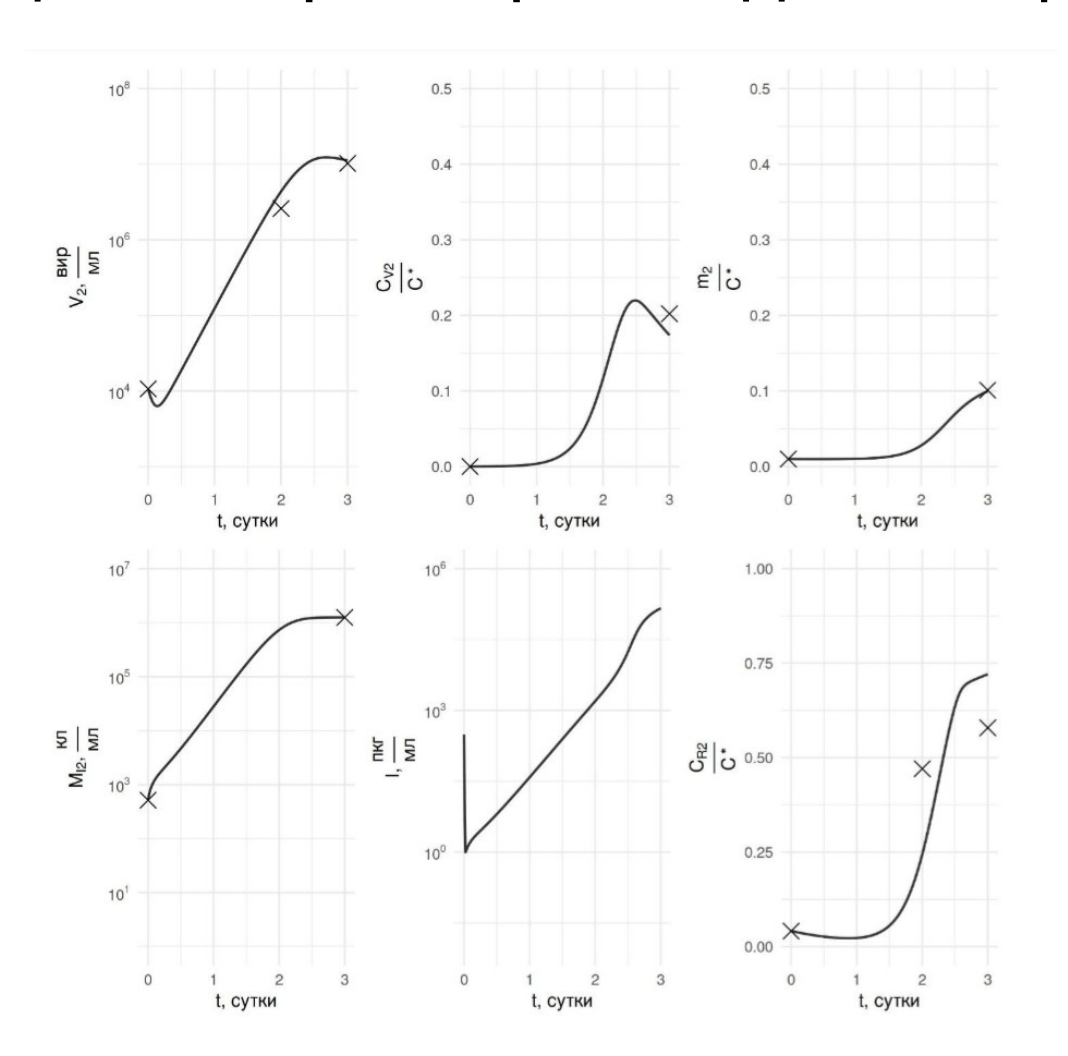
#### Результаты оценки параметров модели инфекции



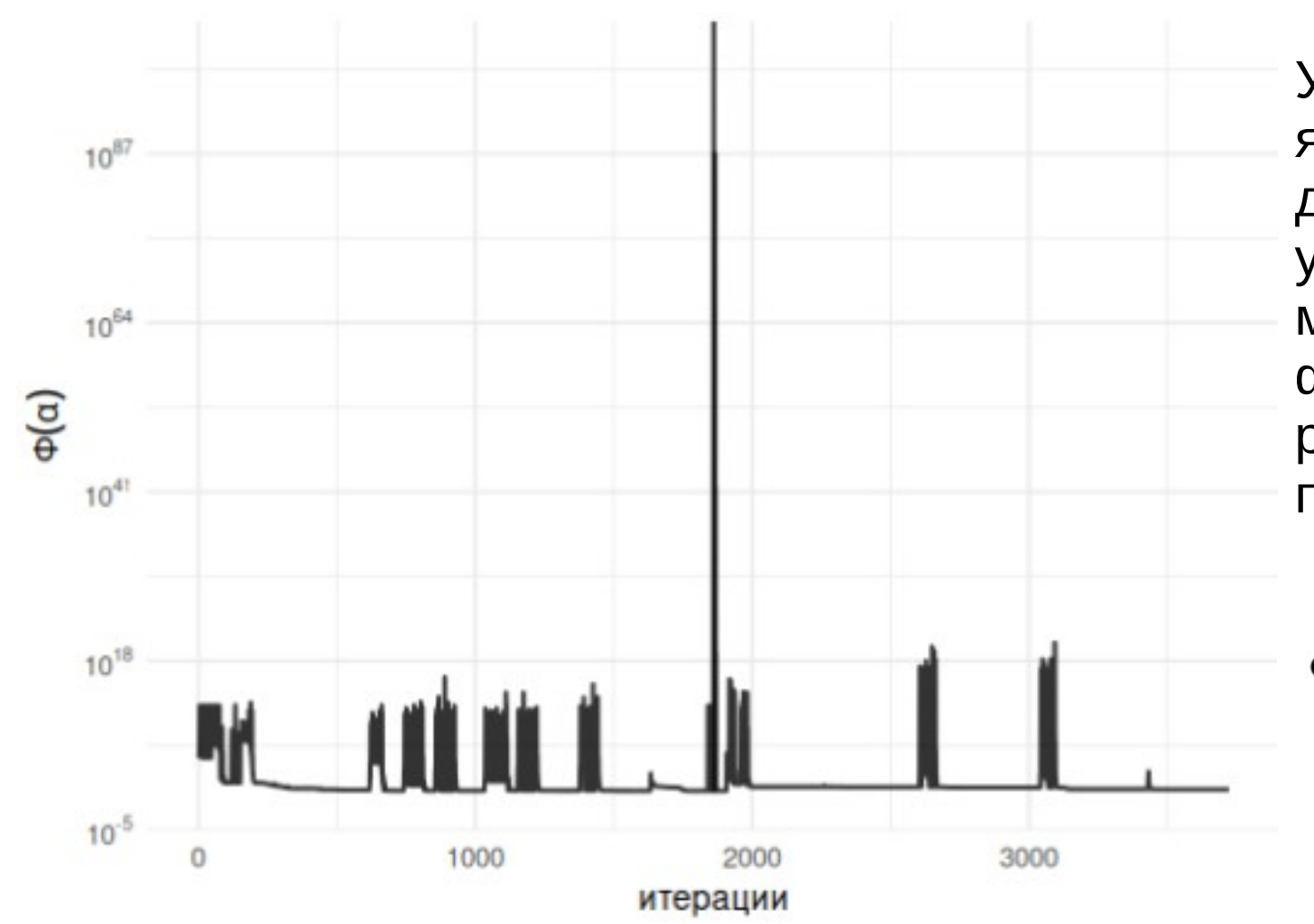
Условием остановки являлось отсутствие дальнейших улучшений при минимизации функционала для различных пар параметров

$$\Phi(\alpha)_f = 105$$

#### Результаты оценки параметров модели инфекции гриппа



#### Результаты оценки параметров модели инфекции гриппа



Условием остановки являлось отсутствие дальнейших улучшений при минимизации функционала для различных пар параметров

$$\Phi(\alpha)_f = 3.53$$

### Оценки параметров модели, блоки взаимодействия вирусов в эпителии

Параметр	Допустимый диапазон	Оценка	Единица
$ u_1$	$10^1 - 10^2$	3.8	$cym^{-1}$
$\gamma_{vm1}$	2-4	2.95	$cym^{-1}$
$\gamma_{vc1}$	$2.29  imes 10^{-8} - 3.57  imes 10^{-10}$	$2.87  imes 10^{-8}$	$\frac{M\Lambda}{K\Lambda \times cym}$
$\sigma_1$	$2.29\times 10^{-8} - 3.57\times 10^{-10}$	$2.58\times10^{-8}$	$\frac{M\Lambda}{K\Lambda \times cym}$
$b_{m1}$	0.1 - 1	0.29	$cym^{-1}$
$lpha_{c1}$	$3  imes 10^{-3} - 5  imes 10^{-3}$	$7  imes 10^{-3}$	$\frac{M\Lambda}{\kappa\Lambda \times cym}$
$lpha_{m1}$	0.5-1	0.69	$cym^{-1}$
$\chi_1$	$1.59  imes 10^{-6} - 3  imes 10^{-7}$	$2.64 imes10^{-7}$	$\frac{\mathit{M}\mathit{\Lambda}}{\mathit{K}\mathit{\Lambda} \times \mathit{cym}}$
$lpha_{M1}$	0.33 - 1	0.78	$cym^{-1}$
$V_1(t=0)$	$10^3 - 10^4$	$9.24  imes 10^2$	вир
$C_{V1}(t=0)$	$1-10^3$	1.65	кл

Параметр	Допустимый диапазон	Оценка	Единица
$ u_2$	$10^1 - 10^2$	1.207	$cym^{-1}$
$\gamma_{vm2}$	2-4	3.95	$cym^{-1}$
$\gamma_{vc2}$	$1.53  imes 10^{-8} - 3.57  imes 10^{-10}$	$3.18\times10^{-9}$	$\frac{M\Lambda}{\kappa\Lambda \times cym}$
$\sigma_2$	$1.53\times 10^{-8} - 3.57\times 10^{-10}$	$9.36\times10^{-8}$	$\frac{M\Lambda}{\kappa\Lambda \times cym}$
$b_{m2}$	0.1 - 1	1.09	$cym^{-1}$
$lpha_{c2}$	$3  imes 10^{-3} - 5  imes 10^{-3}$	$7  imes 10^{-3}$	$\frac{M\Lambda}{\kappa\Lambda \times cym}$
$lpha_{m2}$	0.5 - 1	0.69	$cym^{-1}$
$\chi_2$	$1.59  imes 10^{-6} - 3  imes 10^{-7}$	$6.92  imes 10^{-7}$	$\frac{M\Lambda}{\kappa\Lambda \times cym}$
$lpha_{M2}$	0.33 - 1.5	1.48	$cym^{-1}$
$V_2(t=0)$	$10^4-10^5$	$1.06  imes 10^4$	вир
$\mathcal{C}_{V2}(t=0)$	$1 - 10^3$	$1.03  imes 10^2$	кл
$ ho_I$	0.2 - 1	0.6	пкг
$\sigma_I$	$4  imes 10^{-5} - 7  imes 10^{-6}$	$2.46\times10^{-6}$	$\frac{\mathit{MI}}{\mathit{nKe} \times \mathit{cym}}$
$\sigma_R$	$1.79 \times 10^{-4} - 8.35 \times 10^{-6}$	$9.42\times10^{-4}$	$\frac{\mathit{MI}}{\mathit{nKe} \times \mathit{cym}}$
$lpha_I$	0.2 - 1	0.98	$cym^{-1}$
$lpha_R$	0.1 - 1	0.117	$cym^{-1}$
$C^*$	$3.56  imes 10^8 - 8.3  imes 10^8$	$4.56  imes 10^8$	кл

## Оценки параметров модели, блок адаптивной иммунной защиты при инфекции SARS-CoV-2

XMAP	1.31×10 <sup>-7</sup> – 1.8×10 <sup>-10</sup>	5.36×10 <sup>-46</sup>	мл×кл <sup>-1</sup> ×сут <sup>-1</sup>
$\alpha_{MAP}$	0.33 – 1.5	1.5	сут-1
$b_H^E$	3.6×10 <sup>-6</sup> – 1.8×10 <sup>-7</sup>	8.04×10 <sup>-5</sup>	мл×кл <sup>-1</sup> ×сут <sup>-1</sup>
$H_E^*$	10 <sup>2</sup> - 10 <sup>3</sup>	10 <sup>2</sup>	КЛ
$ ho_H^E$	2-4	2	
$b_p^{H_E}$	3.6×10 <sup>-10</sup> – 1.8×10 <sup>-12</sup>	1.09×10 <sup>-9</sup>	мл <sup>2</sup> ×кл <sup>-2</sup> ×сут <sup>-1</sup>
$\alpha_H^E$	0.4 - 0.8	1	cyr-1
$ au_H^E$	0.8 – 1.2	0.37	сут
$b_H^B$	3.6×10 <sup>-6</sup> – 1.8×10 <sup>-7</sup>	6.55×10 <sup>-5</sup>	мл×кл <sup>-1</sup> ×сут <sup>-1</sup>
$H_B^*$	10 <sup>2</sup> - 10 <sup>3</sup>	10 <sup>2</sup>	кл
$\rho_H^B$	2-4	2	
$b_p^{H_B}$	3.6×10 <sup>-7</sup> – 1.8×10 <sup>-10</sup>	1.15×10 <sup>-7</sup>	мл <sup>2</sup> ×кл <sup>-2</sup> ×сут <sup>-1</sup>
$\alpha_H^B$	0.4 - 0.8	0.1	сут-1
$ au_H^B$	0.8 – 1.2	0.3	сут
$b_p^E$	4.43×10 <sup>-8</sup> – 4.8×10 <sup>-9</sup>	1.55 ×10 <sup>-11</sup>	мл×кл <sup>-1</sup> ×сут <sup>-1</sup>
E*	10 <sup>2</sup> - 10 <sup>3</sup>	10 <sup>2</sup>	КЛ
$\rho_E$	2-4	2	
$b_{EC}$	9.02×10 <sup>-9</sup> – 1.8×10 <sup>-10</sup>	1.22×10 <sup>-9</sup>	мл <sup>2</sup> ×кл <sup>-2</sup> ×сут <sup>-1</sup>
$\alpha_E$	0.33 - 0.5	0.4	сут <sup>-1</sup>

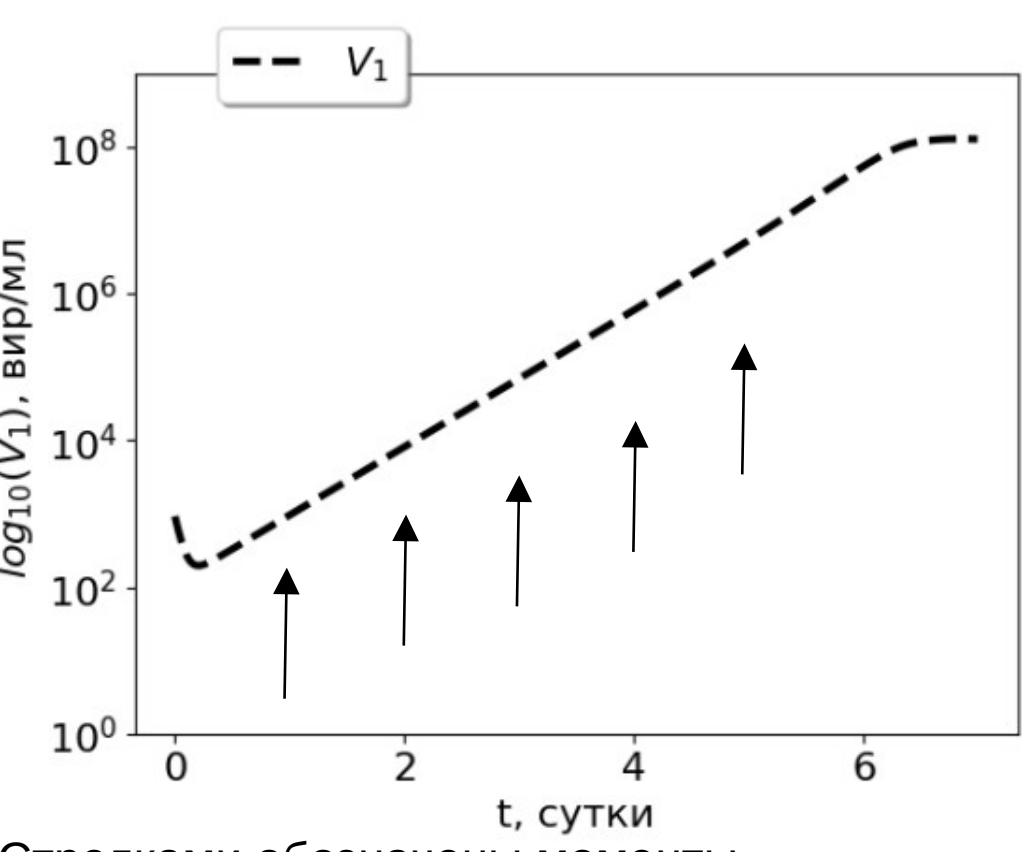
$ au_E$	0.5 - 1	0.61	сут
$b_p^B$	5.48×10 <sup>-8</sup> - 4.3×10 <sup>-9</sup>	1.6×10 <sup>-10</sup>	мл×кл <sup>-1</sup> ×сут
B*	10 <sup>1</sup> - 10 <sup>2</sup>	10 <sup>1</sup>	кл
$\rho_B$	1.5 - 2	3	
$\alpha_B$	0.05 - 1	0.1	сут <sup>-1</sup>
$\tau_B$	0.5 - 1	0.64	сут
$b_p^P$	5.48×10 <sup>-8</sup> – 4.3×10 <sup>-9</sup>	1.33×10 <sup>-11</sup>	мл×кл <sup>-1</sup> ×сут
$P^*$	0-1	1	кл
$\rho_P$	0.5 - 1	1	
$\alpha_P$	0.33 - 0.5	0.4	сут <sup>-1</sup>
$\tau_P$	0.5 - 1	0.52	сут
$\rho_F$	8.64 ×10 <sup>7</sup> – 8.64 ×10 <sup>9</sup>	9.5×10 <sup>7</sup>	молекул ×кл <sup>1</sup> ×сут <sup>-1</sup>
$\alpha_F$	0.043	0.043	cyT-1
$\gamma_{VF}$	1.8×10 <sup>-9</sup> – 3.09×10 <sup>-10</sup>	6.35 ×10 <sup>-9</sup>	молекул×кл <sup>-</sup> <sup>1</sup> ×сут <sup>-1</sup>

# Исследование динамики взаимодействия двух вирусных инфекций в эпителии дыхательных путей человека

В вычислительном эксперименте введение «инфекции» вирусом гриппа в модель происходило в разные моменты времени *t[сутки]* после инфицирования вирусом SARS-CoV-2;
Цель вычислительного эксперимента — исследовать, как динамика инфекции гриппа А

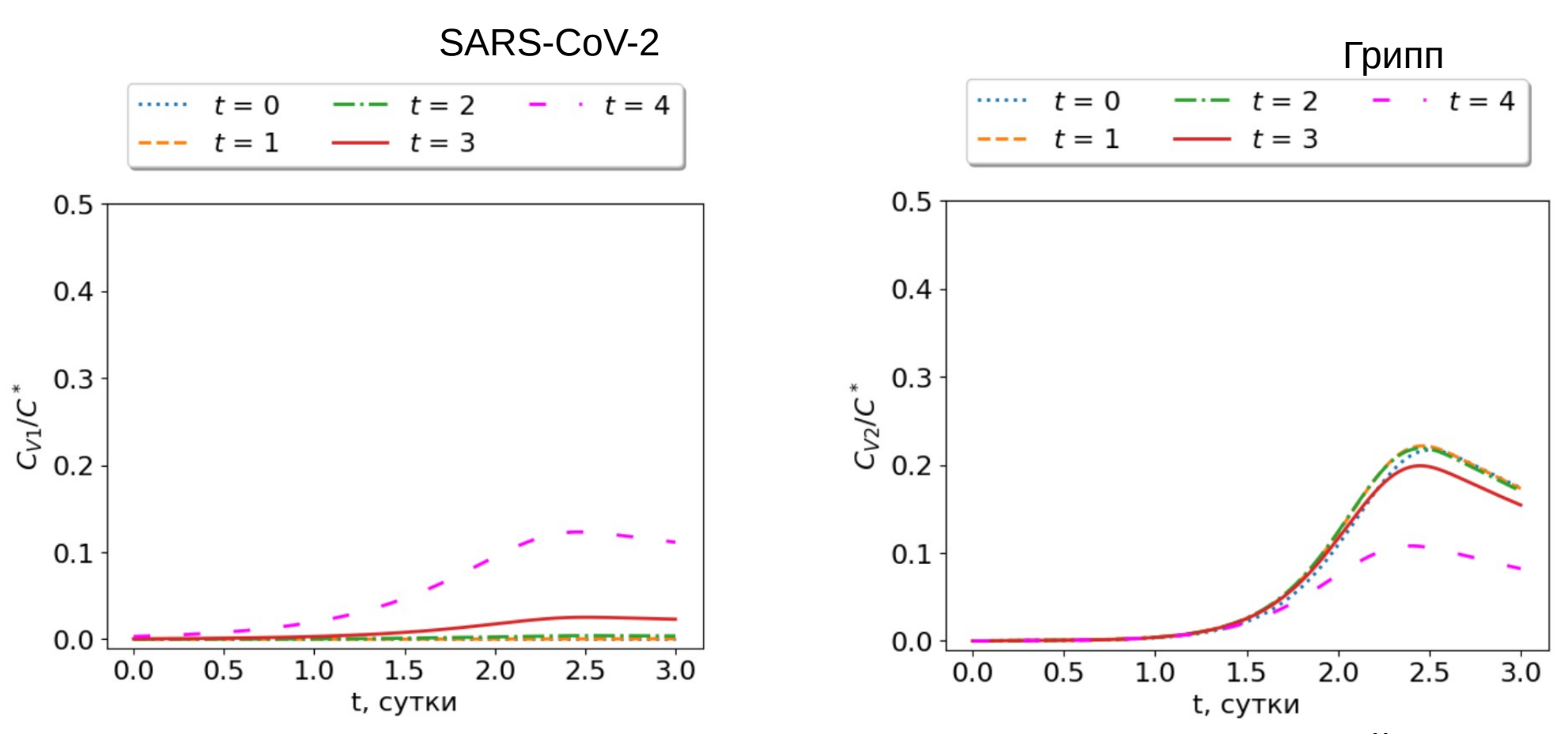
зависит от динамики инфекции

SARS-CoV-2



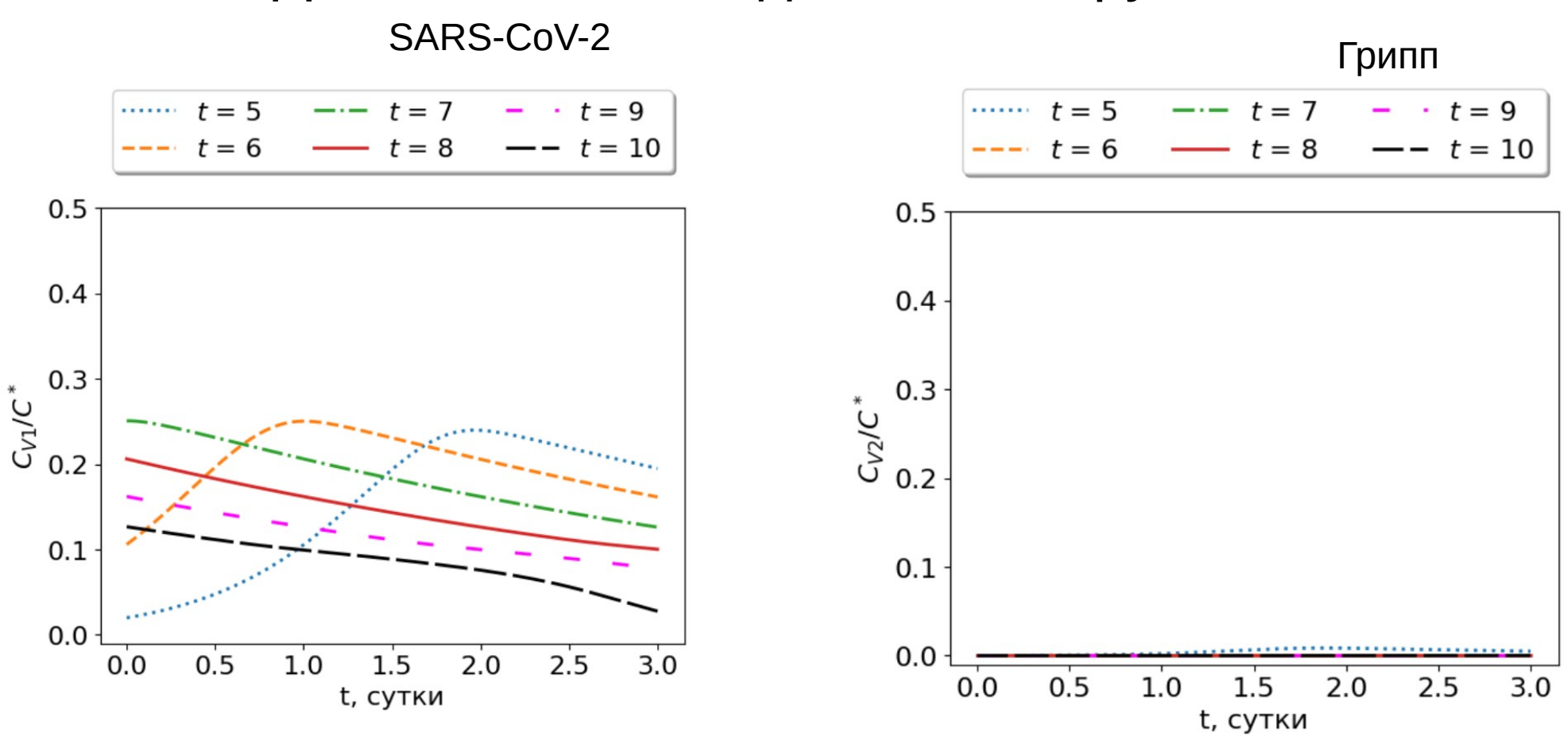
t, сутки Стрелками обозначены моменты введения «инфекции» вирусом гриппа в модель

#### Динамика взаимодействия вирусов



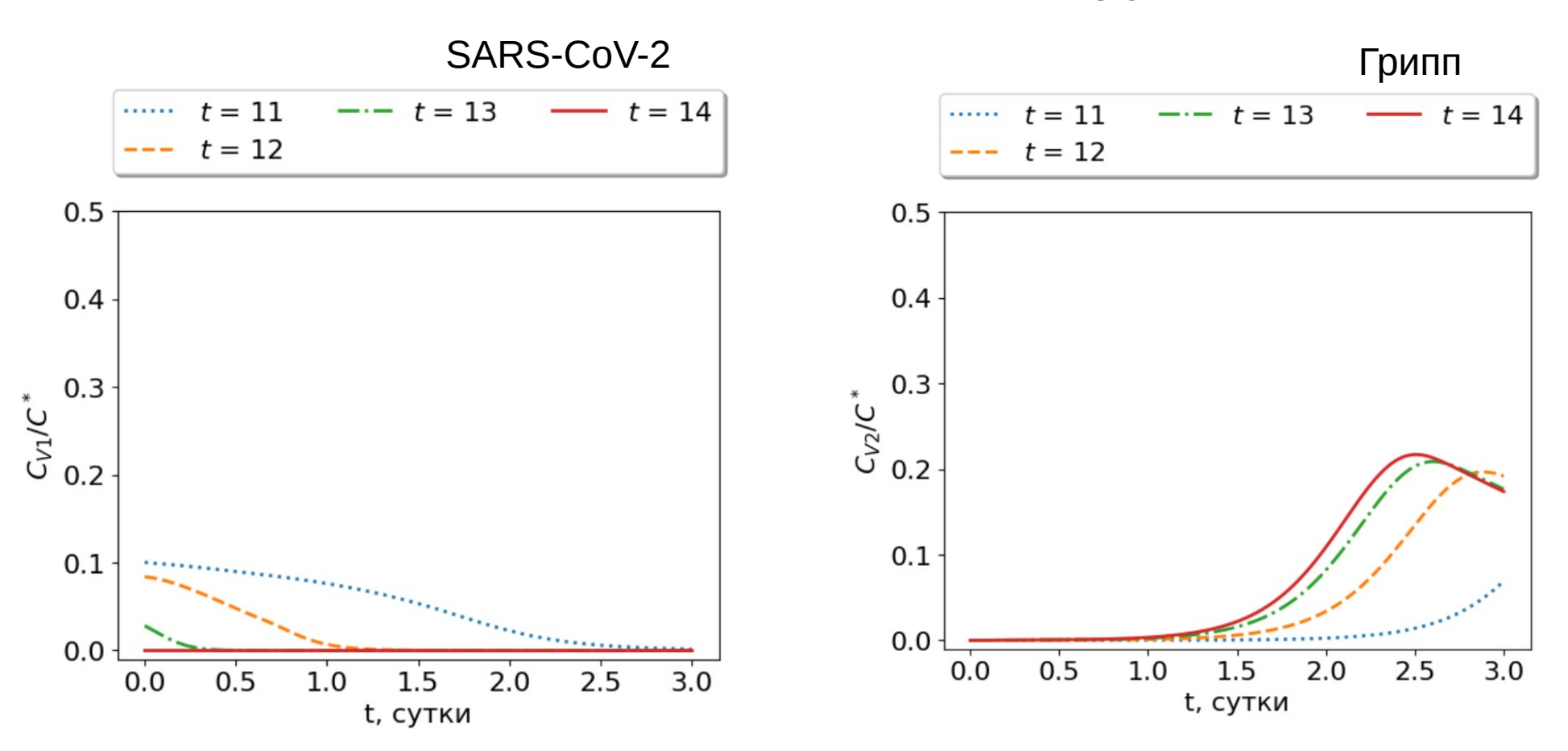
Изменение доли инфицированных клеток двумя вирусами при их взаимодействии

#### Динамика взаимодействия вирусов



Изменение доли инфицированных клеток двумя вирусами при их взаимодействии

### Динамика взаимодействия вирусов



Изменение доли инфицированных клеток двумя вирусами при их взаимодействии

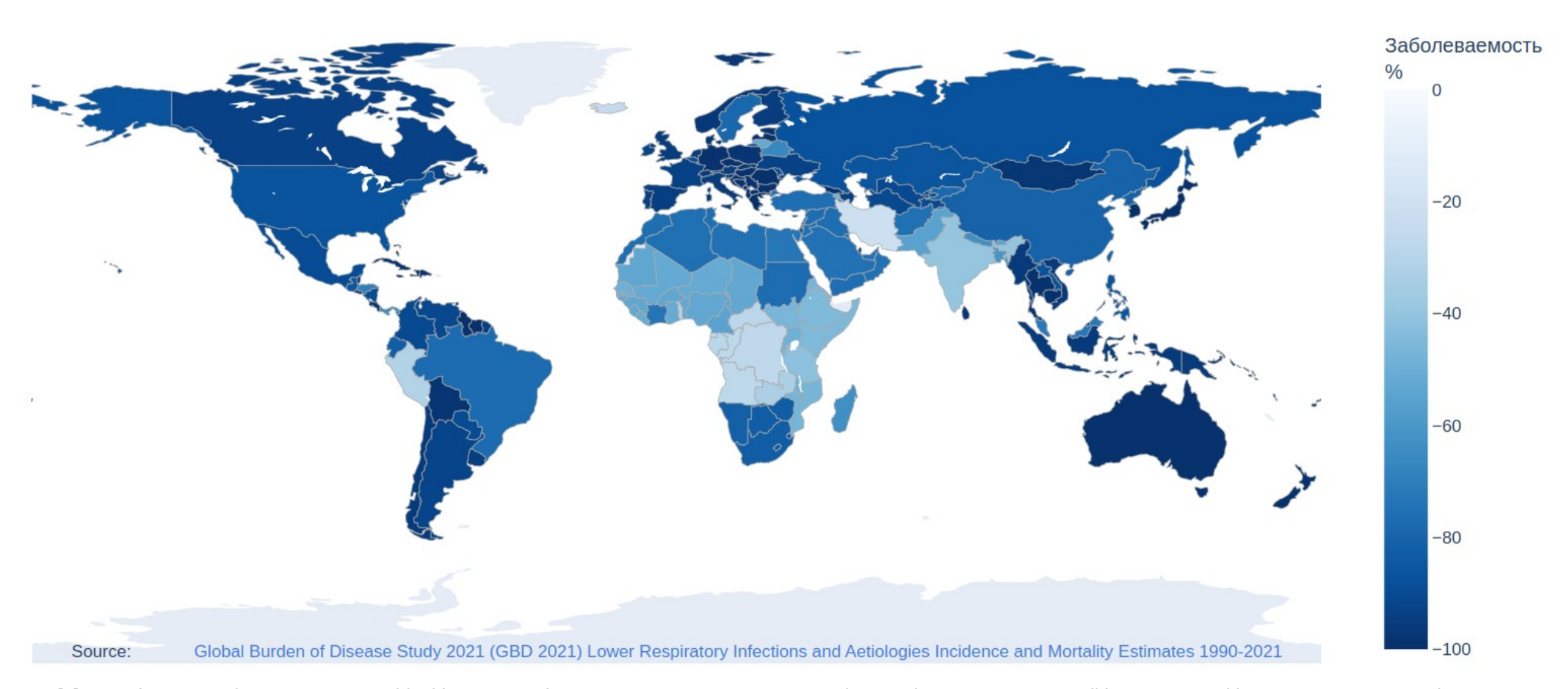
#### Заключение

- Построена математическая модель взаимодействия вирусов в эпителии дыхательных путей. Параметры модели оценены по экспериментальным данным, описывающим динамику изолированной инфекции для каждого вируса в эпителии дыхательных путей человека в локализации инфекции.
- Результаты моделирования взаимодействия вирусов демонстрируют период полной или частичной невосприимчивости человека к вирусу гриппа при инфекции SARS-CoV-2 в интервале до 11 суток.

#### Литература

- Соминина А. А. и др. Интерференция SARS-CoV-2 с другими возбудителямиреспираторных вирусных инфекций в период пандемии //Эпидемиология ивакцинопрофилактика. – 2021 – Т. 20 – №. 4 – С. 28-39.
- 2) Bender R. G. et al. Global, regional, and national incidence and mortality burden of non-COVID-19 lower respiratory infections and aetiologies, 1990–2021: a systematicanalysis from the Global Burden of Disease Study 2021 //The Lancet InfectiousDiseases. 2024 T. 24 №. 9 C. 974-1002.
- 3) Nickbakhsh, S.,et. al., Virus–virus interactions impact the population dynamics ofinfluenza and the common cold. Proceedings of the National Academy of Sciences,116(52), 2019, pp.27142-27150.
- 4) Математические модели в иммунологии. Вычислительные методы иэксперименты/ Марчук Г. И. 3-е изд., перераб. и. доп. М.: Наука. Гл. ред. физ-мат. Лит., 1991 –304.
- 5) Lindeboom R. G. H. et al. Human SARS-CoV-2 challenge uncovers local and systemicresponse dynamics //Nature. 2024 T. 631 №. 8019 C. 189-198.
- 6) Gao K. M. et al. Human nasal wash RNA-Seq reveals distinct cell-specific innateimmune responses in influenza versus SARS-CoV-2 //JCl insight. 2021 T. 6 №.22 C. E152288.
- 7) Ip D. K. M. et al. The dynamic relationship between clinical symptomatology and viralshedding in naturally acquired seasonal and pandemic influenza virus infections

#### Снижение заболеваемости гриппом в 2021 относительно 2019



[2] - Bender, R.G., Sirota, S.B., Swetschinski, L.R., Dominguez, R.M.V., Novotney, A., Wool, E.E., Ikuta, K.S., Vongpradith, A., Rogowski, E.L.B., Doxey, M. and Troeger, C.E., 2024. Global, regional, and national incidence and mortality burden of non-COVID-19 lower respiratory infections and aetiologies, 1990–2021: a systematic analysis from the Global Burden of Disease Study 2021. The Lancet Infectious Diseases, 24(9), pp.974-1002.

$$\frac{dV_1}{dt} = \nu_1 C_{V1} + nb_{CE} C_{V1} E - \gamma_{VF} V_1 F - \gamma_{VM1} V_1 - \gamma_{VC1} V_1 (C^* - C_{V1} - C_{V2} - C_R - m)$$

$$\frac{dV_2}{dt} = \nu_2 C_{V2} - \gamma_{VM2} V_2 - \gamma_{VC2} V_2 (C^* - C_{V1} - C_{V2} - C_R - m)$$
(F2)
$$\frac{dC_{V1}}{dt} = \sigma_1 V_1 (C^* - C_{V1} - C_{V2} - C_R - m) - b_{CE} C_{V1} E - b_{m1} C_{V1}$$
(F3)
$$\frac{dC_{V2}}{dt} = \sigma_2 V_2 (C^* - C_{V1} - C_{V2} - C_R - m) - b_{m2} C_{V2}$$
(F4)

$$\frac{dM_{I1}}{dt} = \chi_{M_{I}1}(M_{I}^{*} - M_{I1} - M_{I2})V_{1} - \alpha_{M_{I1}}M_{I1}$$

$$\frac{dM_{I2}}{dt} = \chi_{M_{I}2}(M_{I}^{*} - M_{I1} - M_{I2})V_{1} - \alpha_{M_{I2}}M_{I2}$$
(F6)

 $\frac{dm}{dt} = b_{m1}C_{V1} + b_{m2}C_{V2} + \alpha_C(C^* - C_{V1} - C_{V2} - C_R - m) - \alpha_m m$ 

$$\frac{dM_{AP}}{dt} = \chi_{M_{AP}}(M_I - M_{I1} - M_{I2})V_1 - \alpha_{M_{AP}}M_{I2}$$

$$\frac{dM_{AP}}{dt} = \chi_{M_{AP}}(M_{AP}^* - M_{AP})V - \alpha_{M_{AP}}M_{AP}$$
(F8) 28

(F5)

$$\frac{I}{dt} = \rho_I M - \alpha_I I - \sigma_I I (C^* - C_{V1} - C_{V2} - C_R - m)$$

$$\frac{dC_R}{dt} = \sigma_R I (C^* - C_{V1} - C_{V2} - C_R - m) - \alpha_R C_R$$
(F10)

$$\frac{dH_E}{dt} = b_H^E [\rho_H^E M_{AP}(t - \tau_H^E) H_E(t - \tau_H^E) - M_{AP} H_E] - b_p^{H_E} M_{AP} H_E E + \alpha_H^E (H_E^* - H_E) \quad \text{(F11)}$$

$$\frac{dH_B}{dt} = b_H^B [\rho_H^B M_{AP}(t - \tau_H^B) H_B(t - \tau_H^B) - M_{AP} H_B] - b_p^{H_B} M_{AP} H_B B + \alpha_H^B (H_B^* - H_B) \quad (F12)$$

$$\frac{dE}{dt} = b_p^E [\rho_E M_{AP}(t - \tau_E) H_E(t - \tau_E) E(t - \tau_E) - M_{AP} H_E E] - b_{EC} C_V E + \alpha_E (E^* - E) \quad (F13)$$

$$\frac{dB}{dt} = b_p^B [\rho_B M_{AP}(t - \tau_B) H_B(t - \tau_B) B(t - \tau_B) - M_{AP} H_B B] + \alpha_B (B^* - B)$$
 (F14)

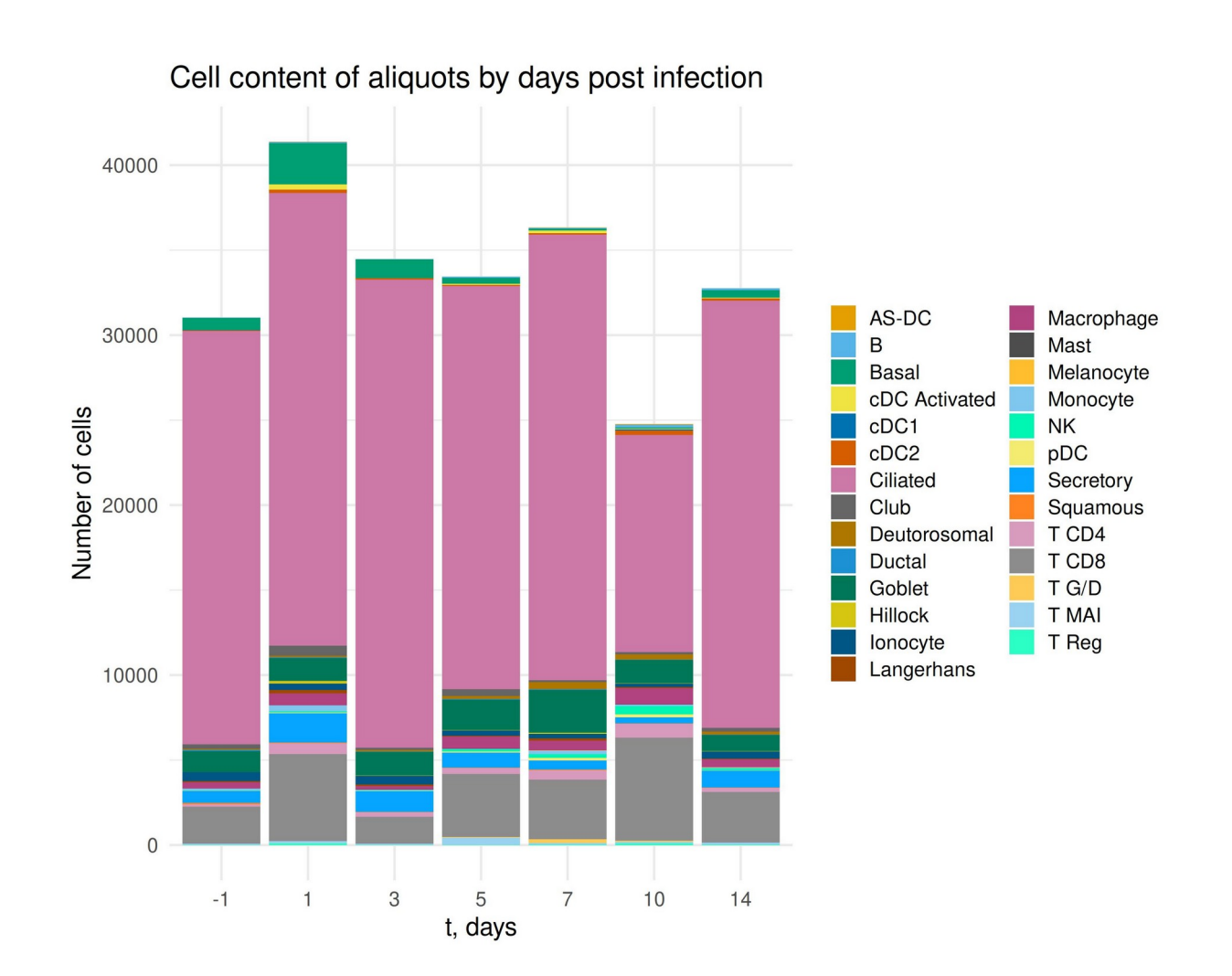
$$\frac{dP}{dt} = b_p^P \rho_P M_{AP}(t - \tau_P) H_B(t - \tau_P) B(t - \tau_P) + \alpha_P (P^* - P)$$
 (F15)

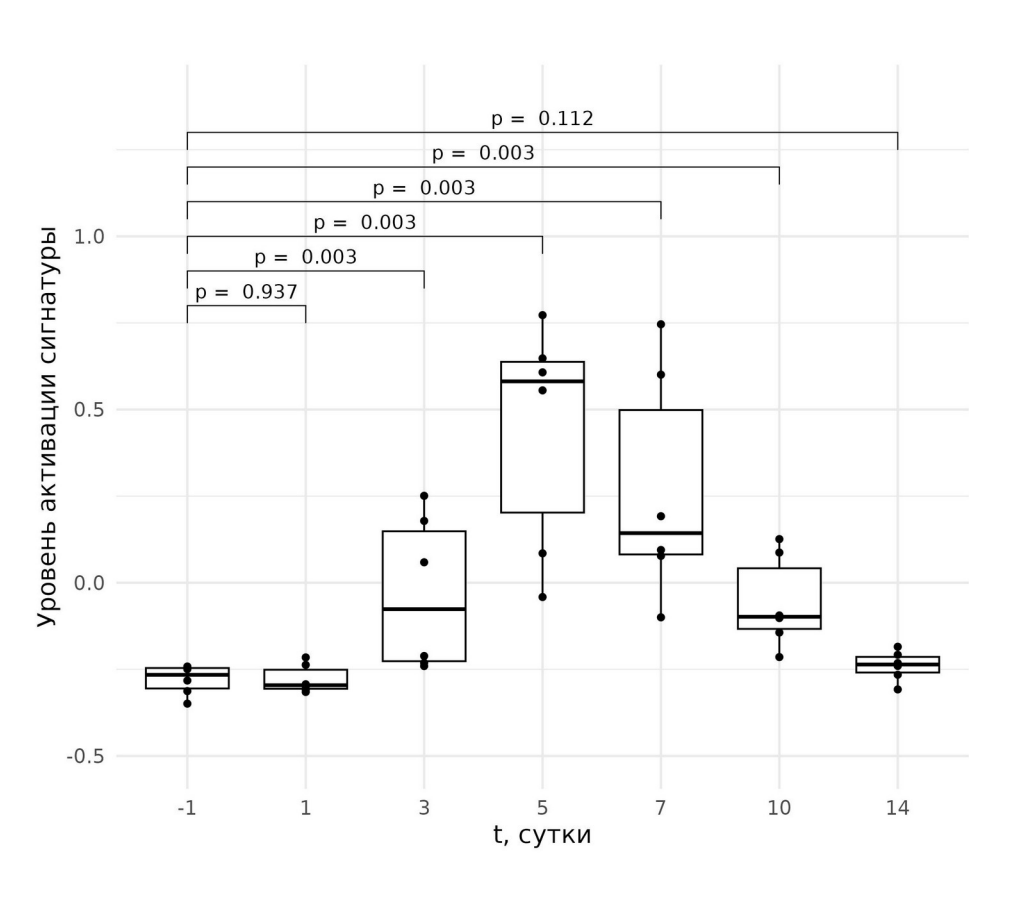
$$\frac{dF}{dt} = \rho_F P - \alpha_F F - \gamma_{FV} FV$$

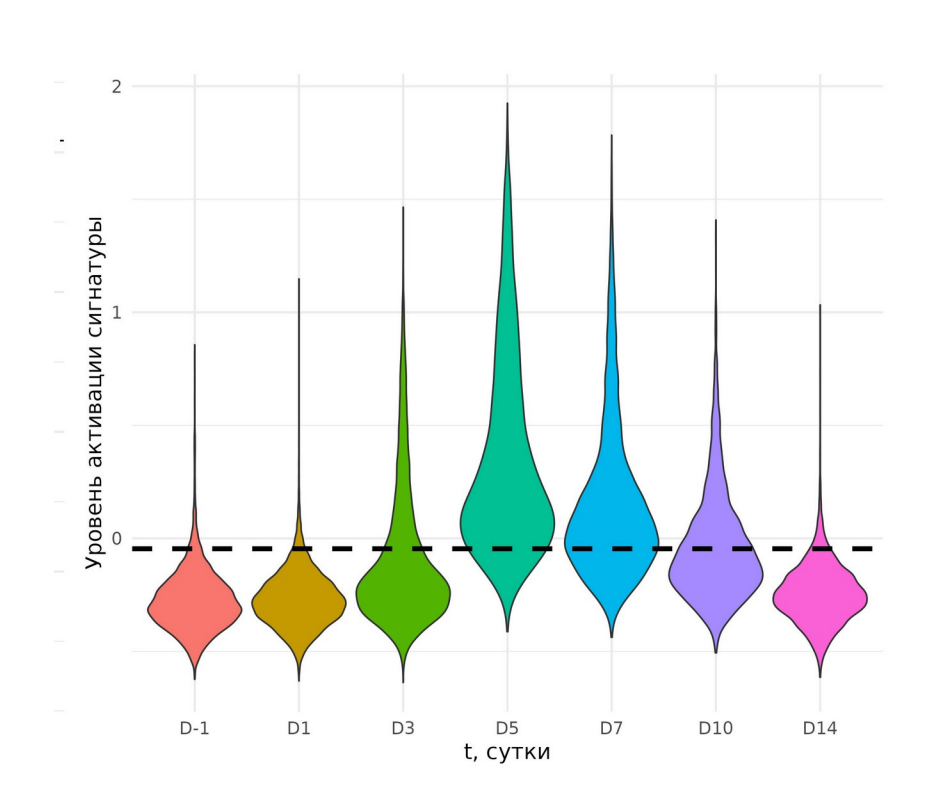
(F10)

(F16)

$$\begin{split} V_{1}(t_{0}) &= V_{10}, \ \ V_{2}(t_{0}) = V_{20}, \ \ C_{V1}(t_{0}) = 0, \ \ C_{2}(t_{0}) = 0, \ \ m(t_{0}) = 0 \ \ , M_{I1}(t_{0}) = M_{I1}^{**}, \\ M_{I2}(t_{0}) &= M_{I2}^{**}, \ \ I(t_{0}) = I^{*}, \ \ M_{AP}, (t_{0}) = M_{AP}^{**}, \ \ C_{R}(t_{0}) = C_{R}^{*}, \\ H_{E}(t_{0}) &= H_{E}^{*}, \ \ H_{B}(t_{0}) = H_{B}^{*}, \ \ E(t_{0}) = E^{*}, \ \ B(t_{0}) = B^{*}, \ \ P(t_{0}) = P^{*}, \ \ F(t_{0}) = F^{*} \\ M_{AP}(s) &= 0, \ \ t_{0} - \tau \leq s < t_{0}, \ \ \tau = max(\tau_{H}^{E}, \tau_{E}, \tau_{B}, \tau_{P}) \\ H_{E}(s) &= H_{E}^{*}, \ \ t_{0} - \tau_{1} \leq s < t_{0}, \ \ \tau_{1} = max(\tau_{H}^{E}, \tau_{E}) \\ H_{B}(s) &= H_{B}^{*}, \ \ t_{0} - \tau_{2} \leq s < t_{0}, \ \ \tau_{2} = max(\tau_{H}^{B}, \tau_{B}, \tau_{P}) \\ E(s) &= E^{*}, \ \ t_{0} - \tau_{E} \leq s < t_{0} \\ B(s) &= B^{*}, P(s) = P^{*}, \ \ t_{0} - \tau_{3} \leq s < t_{0}, \ \ \tau_{3} = max(\tau_{B}, \tau_{P}) \end{split}$$







#### Динамика доли защищенных интерфероном клеток реснитчатого эпителия у пациентов с COVID-19

В образцах назальных мазков по данным одноклеточного РНК-секвенирования; Группа пациентов - устойчивый COVID-19

